

Московский Государственный Университет имени  
М.В. Ломоносова  
Факультет вычислительной математики и кибернетики

Отчёт по теоретическому заданию в рамках курса  
«Суперкомпьютерное моделирование и технологии»  
Двумерная задача Дирихле для уравнения Пуассона в  
криволинейной области

Муравицкая Екатерина Ярославовна  
616 группа  
Вариант 6

Москва 2024

## Содержание

<b>1</b>	<b>Введение</b>	<b>2</b>
<b>2</b>	<b>Математическая постановка задачи</b>	<b>2</b>
<b>3</b>	<b>Метод фиктивных областей</b>	<b>2</b>
<b>4</b>	<b>Разностная схема решения задачи</b>	<b>3</b>
<b>5</b>	<b>Вычисление коэффициентов</b>	<b>4</b>
<b>6</b>	<b>Метод решения системы линейных алгебраических уравнений</b>	<b>4</b>
<b>7</b>	<b>Использование OpenMP</b>	<b>5</b>
<b>8</b>	<b>Использование MPI</b>	<b>6</b>
<b>9</b>	<b>Использование OpenMP + MPI</b>	<b>7</b>
<b>10</b>	<b>Результаты работы</b>	<b>7</b>
10.1	Последовательная реализация . . . . .	7
10.2	OpenMP-программа . . . . .	7
10.3	MPI-программа . . . . .	10
10.4	Гибридная реализация MPI/OpenMP . . . . .	11
10.5	Графики реализаций . . . . .	12

## 1 Введение

Задача представляет вычисление приближенного решения двумерной задачи Дирихле для уравнения Пуассона для области, которая является квадратом с отсеченной вершиной, соответствующий системе неравенств:  $(x, y) : |x| + |y| < 2, y < 1$ .

Разработан параллельный код программы с использованием библиотек OpenMP и MPI. Задание выполнено на языке C на ПВС Московского университета IBM Polus.

## 2 Математическая постановка задачи

В области  $D \subset R^2$  ограниченной контуром  $\gamma$  рассматривается дифференциальное уравнение Пуассона:

$$-\Delta u = f(x, y)$$

в котором оператор Лапласа

$$\Delta = \frac{\partial^2 u}{\partial x^2} + \frac{\partial^2 u}{\partial y^2}$$

Функция  $f(x, y)$  известна и равна 1 в области  $D$ . Для выделения единственного решения дополняется граничным условием Дирихле:

$$u(x, y) = 0, (x, y) \in \gamma$$

Область  $D$  является квадратом с отсеченной вершиной, соответствующий системе неравенств:  $(x, y) : |x| + |y| < 2, y < 1$ .

## 3 Метод фиктивных областей

Для приближенного решения задачи предлагается воспользоваться методом фиктивных областей. Пусть область  $D$  принадлежит прямоугольнику  $\Pi = \{(x, y) : A_1 < x < B_1, A_2 < y < B_2\}$ .

Для данной области  $D$  возьмем прямоугольник, такой что:  $\Pi = \{(x, y) : -2 < x < 2, -2 < y < 1\}$ .

Обозначим через  $\overline{D}, \overline{\Pi}$  замыкание области  $D$  и прямоугольника  $\Pi$  соответственно, через  $\Gamma$  - границу прямоугольника. Разность множеств

$$\hat{D} = \Pi \setminus D$$

называется фиктивной областью. Выберем и зафиксируем малое  $\epsilon > 0$ .

В прямоугольнике  $\Pi$  рассматривается задача Дирихле:

$$-\frac{\partial}{\partial x}(k(x, y)\frac{\partial v}{\partial x}) - \frac{\partial}{\partial y}(k(x, y)\frac{\partial v}{\partial y}) = F(x, y)$$

$$v(x, y) = 0, (x, y) \in \Gamma$$

с кусочно-постоянным коэффициентом

$$k(x, y) = \begin{cases} 1, (x, y) \in D, \\ 1/\epsilon, (x, y) \in \hat{D} \end{cases}$$

и правой частью

$$F(x, y) = \begin{cases} f(x, y), (x, y) \in D \\ 0, (x, y) \in \hat{D} \end{cases}$$

Требуется найти непрерывную в  $\bar{\Pi}$  функцию  $v(x, y)$ , удовлетворяющую дифференциальному уравнению задачи всюду в  $\Pi \setminus \gamma$ , равную нулю на границе  $\Gamma$  прямоугольника, и такую, чтобы вектор потока

$$W(x, y) = -k(x, y) \left( \frac{\partial x}{\partial y}, \frac{\partial v}{\partial y} \right)$$

имел непрерывную нормальную компоненту на общей части криволинейной границы области  $D$  и прямоугольника  $\Pi$ .

## 4 Разностная схема решения задачи

Краевую задачу предлагается решать численно методом конечных разностей. В замыкании прямоугольника  $\bar{\Pi}$  определяется равномерная прямоугольная сетка  $\bar{\omega}_h = \bar{\omega}_1 * \bar{\omega}_2$ , где

$$\bar{\omega}_1 = \{x_i = A_1 + ih_1, i = \overline{0, M}\}, \bar{\omega}_2 = \{y_j = A_2 + jh_2, j = \overline{0, N}\}$$

, где

$$h_1 = (B_1 - A_1)/M, h_2 = (B_2 - A_2)/N.$$

Через  $\omega_h$  обозначим множество внутренних узлов сетки  $\bar{\omega}_h$ , т.е. множество узлов сетки прямоугольника, не лежащих на границе  $\Gamma$ .

Дифференциальное уравнение задачи во всех внутренних узлах точек сетки аппроксимируется разностным уравнением

$$-\frac{1}{h_1} \left( a_{i+1j} \frac{w_{i+1j} - w_{ij}}{h_1} - a_{ij} \frac{w_{ij} - w_{i-1j}}{h_1} \right) - \frac{1}{h_2} \left( b_{ij+1} \frac{w_{ij+1} - w_{ij}}{h_2} - b_{ij} \frac{w_{ij} - w_{ij-1}}{h_2} \right) = F_{ij}, (*)$$

$i = \overline{1, M-1}, j = \overline{1, N-1}$  в котором коэффициенты

$$a_{ij} = \frac{1}{h_2} \int_{y_{j-1/2}}^{y_{j+1/2}} k(x_{i-1/2}, t) dt, b_{ij} = \frac{1}{h_1} \int_{x_{i-1/2}}^{x_{i+1/2}} k(t, y_{j-1/2}) dt$$

при всех  $i = \overline{1, M}, j = \overline{1, N}$ . Здесь полуцелые узлы

$$x_{i\pm 1/2} = x_i \pm 0.5h_1, y_{j\pm 1/2} = y_j \pm 0.5h_2$$

Правая часть разностного уравнения

$$F_{ij} = \frac{1}{h_1 h_2} \iint_{\Pi_{ij}} F(x, y) dx dy,$$

$$\Pi_{ij} = \{(x, y) : x_{i-1/2} \leq x \leq x_{i+1/2}, y_{j-1/2} \leq y \leq y_{j+1/2}\}$$

при всех  $i = \overline{1, M}, j = \overline{1, N}$ .

## 5 Вычисление коэффициентов

Из замечания в описании задания следует аналитический алгоритм вычисления коэффициентов  $a_{ij}, b_{ij}, F_{ij}$ .

При вычислении  $a_{ij}$  необходимо посчитать интеграл  $\int_{y_{j-1/2}}^{y_{j+1/2}} k(x_{i-1/2}, t) dt$ . По построению прямоугольника  $\Pi$ , легко видеть, что этот интеграл равен длине отрезка  $[y_j - 1/2, y_j + 1/2]$  внутри области  $D$  (квадрат с отсеченной вершиной)  $+ 1/\epsilon$  \* длину вне области  $D$ .

Для этого необходимо определить точку пересечения (если она есть) данного отрезка с одной из боковых граней фигуры, затем вычислить длину вне и внутри фигуры. Аналогично для  $b_{ij}$ .

Для вычисления  $F_{ij}$  надо посчитать интеграл  $\iint_{\Pi_{ij}} F(x, y) dx dy$ . Также из замечания следует, что этот интеграл равен площади прямоугольника  $\Pi_{ij} = \{(x, y) : x_{i-1/2} \leq x \leq x_{i+1/2}, y_{j-1/2} \leq y \leq y_{j+1/2}\}$  внутри квадрата с отсеченной вершиной. Для этого необходимо найти пересечение (если оно есть) прямоугольника с боковой стороной фигуры и посчитать площадь образованной трапеции, треугольника или пятигранника/шестигранника внутри исходной фигуры.

Для данных алгоритмов были найдены уравнения боковых сторон, левая-верхняя, правая-верхняя, левая-нижняя и правая-нижняя соответственно:

$$y = 2 + x,$$

$$y = 2 - x,$$

$$y = -2 - x,$$

$$y = -2 + x,$$

с помощью которых находятся пересечения боковых сторон с вертикальными или горизонтальными линиями.

## 6 Метод решения системы линейных алгебраических уравнений

Приближенное решение разностной схемы может быть получено итерационным методом скорейшего спуска. Этот метод позволяет получить последовательность сеточных функций  $w^{(k)} \in H, k = 1, 2, \dots$ , сходящуюся по норме пространства  $H$  к решению разностной схемы.

Метод является одношаговым. Итерация  $w^{(k+1)}$  вычисляется по итерации  $w^{(k)}$  согласно равенствам:

$$w_{ij}^{(k+1)} = w_{ij}^{(k)} - \tau_{k+1} r_{ij}^{(k)},$$

где невязка  $r^{(k)} = Aw^k - B$ , итерационный параметр

$$\tau_{k+1} = \frac{(r^{(k)}, r^{(k)})}{(Ar^{(k)}, r^{(k)})}.$$

В качестве условия остановки алгоритма было использовано неравенство

$$\|w^{(k+1)} - w^{(k)}\| < \delta,$$

где  $\delta$  - положительное число, определяющее точность итерационного метода.

## 7 Использование OpenMP

Решение задачи было написано на языке программирования C, используя распараллеливание с помощью библиотеки OpenMP.

Количество нитей задается через параметр OMP\_NUM\_THREADS при запуске программы. Например, команда `gcc main.c -lm -fopenmp -o a.out && bsub -q normal -W 0:30 -o result -e resultErr OMP_NUM_THREADS=2 ./a.out` - скомпилирует и запустит исполняемый файл a.out, в котором будет проведен эксперимент с 2 нитями. Размер сетки и точность алгоритма задается в коде программы (переменные M, N, delta соответственно).

Общий алгоритм работы программы следующий:

1. инициализация нужных матриц и переменных;
2. подсчет матриц коэффициентов  $a_{ij}, b_{ij}, F_{ij}$ ;
3. вычисление приближенного решения  $w$  методом скорейшего спуска;
4. подсчет итерационного параметра  $\tau$  и нормы  $\|w^{(k+1)} - w^{(k)}\|$ ;
5. если норма больше заданной точности, возвращаемся на пункт 3.

При завершении очередного эксперимента программа выводит число итераций и затраченное время. После завершения последнего эксперимента программа завершается.

В основном цикле метода скорейшего спуска написаны три двойных цикла `for`, итерирующиеся по  $i$  и  $j$ . Первый блок циклов вычисляет невязку  $r$ , второй блок циклов вычисляет произведение матрицы  $Ar$  (с помощью подставления  $r$  вместо  $w$  в уравнение), третий блок считает норму  $\|w^{(k+1)} - w^{(k)}\|$  для проверки условия остановки. Все три блока циклов были распараллелены с помощью директивы `#pragma omp parallel for collapse(2)` для развертывания вложенного цикла с указанием приватных и разделяемых переменных, а так же `reduction` для правильного расчета суммы внутри.

## 8 Использование MPI

Решение задачи было написано на языке программирования C, используя распараллеливание с помощью библиотеки MPI.

Для запуска программы необходимо в параметрах командной строки указать требуемое число процессов.

Компиляция программы происходит с помощью команды: `mpicc -lm main.c`.

Командная строка `mpisubmit.pl -n 2 ./a.out 2` запустит программу с 2 процессами. Для последовательного исполнения: `mpisubmit.pl ./a.out 1`.

Либо `bsub -o 40x40.out -e 40x40.err -R "affinity[core(K)]" -n K -m "polus-c4-ib" mpiexec -n K ./a.out`, где 'K' - количество процессов.

Размер сетки и точность алгоритма задается в коде программы (переменные M, N, delta соответственно).

Общий алгоритм работы программы следующий:

1. инициализация нужных матриц и переменных;
2. подсчет матриц коэффициентов  $a_{ij}, b_{ij}, F_{ij}$ ;
3. вычисление приближенного решения  $w$  методом скорейшего спуска;
  - (a) подсчет  $\tau$
  - (b) отправка граничных значений  $\tau$
  - (c) получение граничных значений  $\tau$
  - (d) подсчет итерационного параметра  $\tau$
  - (e) подсчет  $w$
  - (f) отправка граничных значений  $w$
  - (g) получение граничных значений  $w$
4. подсчет нормы как максимум из всех  $|r_{ij}|$ ;
5. если норма больше заданной точности, возвращаемся на пункт 3.

При завершении программа выводит затраченное время и число итераций.

Суть распараллеливания вычислений заключается в разбиении области на  $p$  число подобластей, где  $p$  соответствует числу процессов. В результате чего  $p$  областей считаются одновременно.

Мы выбираем области так, чтобы они делили сетку пополам, но при этом захватывали доп. строку/столбец из смежной области. Таким образом, для сетки 40x40 и для 2 процессов мы разделим область горизонтально с 0 по 20 индекс и с 19 по 39 индекс матрицы.

Данный массив, состоящий из строки/столбца из соседней области, будет передаваться между областями с помощью средств MPI.

## 9 Использование OpenMP + MPI

Решение задачи было написано на языке программирования C, используя распараллеливание с помощью библиотек OpenMP и MPI.

Для запуска программы необходимо в параметрах командной строки указать требуемое число процессов и нитей, либо запустить через makefile с вызовом соответствующей команды.

Компиляция программы происходит через команду `module avail && module load SpectrumMPI/10.1.0 && mpicc main.c -lm -fopenmp`.

Запуск программы происходит через команду `bsub -n M -o a.out -eo a.err -m "polus-c2-ib polus-c3-ibR" span[ptile=M/2] affinity[thread(K,same=core)*M]"OMP_NUM_THREADS=K mpiexec -n M ./a.out`, где 'M' - число процессов, 'K' - число нитей. Для одного процесса `span[ptile]` не указывается.

Размер сетки и точность алгоритма задается в коде программы (переменные M, N, delta соответственно).

Общий алгоритм программы повторяет алгоритмы для OpenMP и MPI программ. В строках `pragma` указаны внешними только те переменные, которые не зависят от очередности подсчета на другом процессе.

## 10 Результаты работы

### 10.1 Последовательная реализация

Разработан код программы, вычисляющий приближенное решение разностной схемы скорейшего спуска. Выполнены расчеты на сгущающихся сетках  $(M,N) = (10,10), (20,20), (40,40)$  при точности равной  $1e - 7$ . Результаты приведены в таблице:

Число точек сетки ( $M \times N$ )	Число итераций	Время решения (с)
$10 \times 10$	655	0.006394
$20 \times 20$	9353	0.525364
$40 \times 40$	112151	22.543114

**Таблица 1.** Таблица с результатами расчётов последовательного кода

### 10.2 OpenMP-программа

Были проведены расчеты с сеткой размера  $(40 \times 40)$  для 1, 2, 4 и 16 нитей. При использовании OpenMP во всех экспериментах точность взята равной  $1e - 7$ . Результаты приведены в таблице:



Количество OpenMP-нитей	Число точек сетки (M × N)	Число итераций	Время решения (с)	Ускорение
1	40 × 40	112151	22.543114	1
2	40 × 40	112151	12.35378	1.82479
4	40 × 40	112151	9.078966	2.483
16	40 × 40	112151	7.123714	3.16452

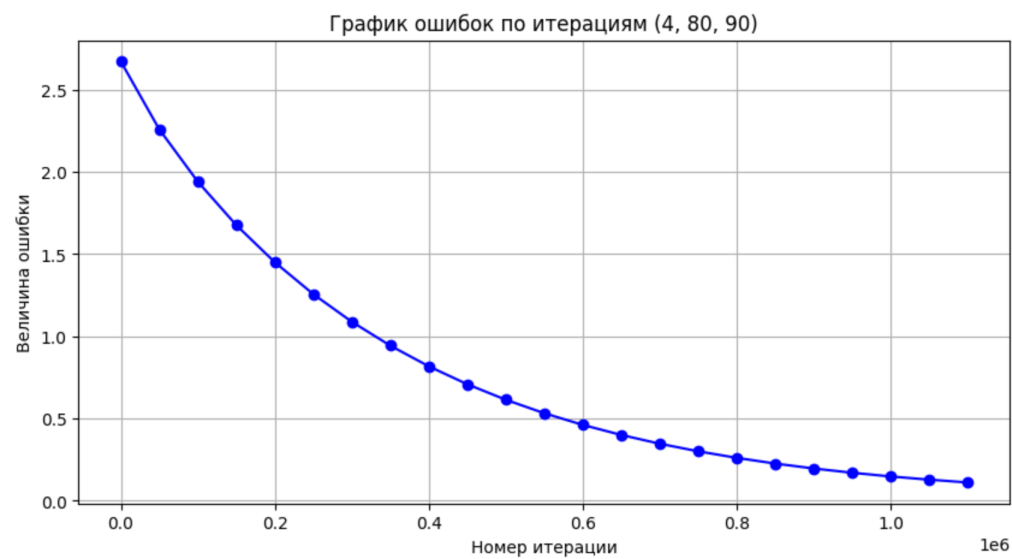
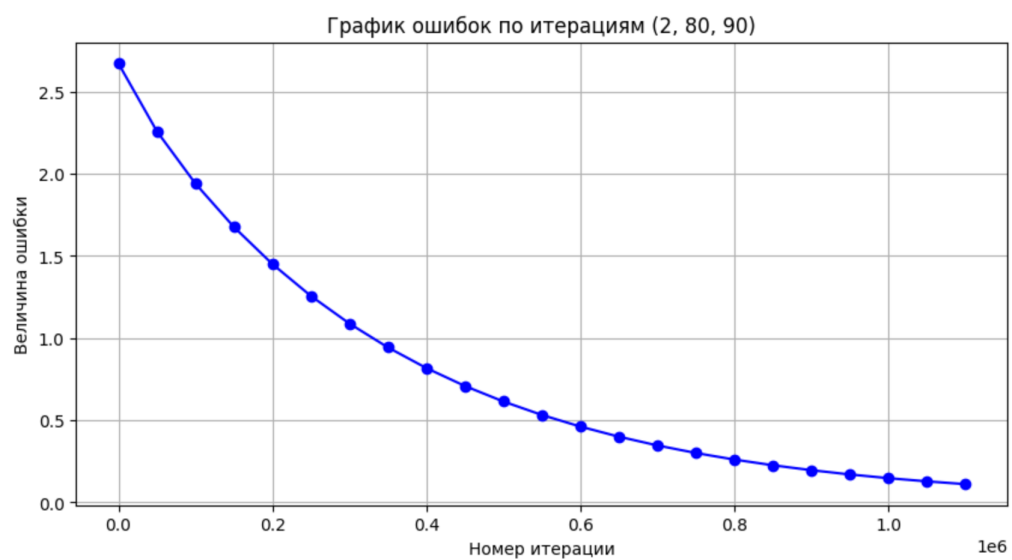
**Таблица 2.** Таблица с результатами расчётов OpenMP на сетке (40x40)

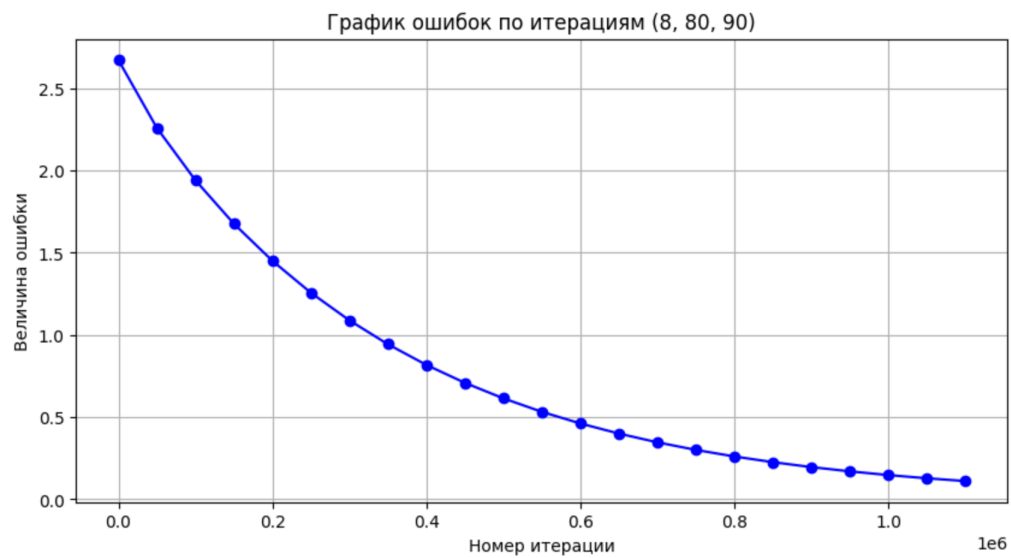
Были проведены расчеты с разными размерами сетки. При использовании OpenMP во всех экспериментах точность взята равной  $1e - 7$ . Результаты приведены в таблице:

Количество OpenMP-нитей	Число точек сетки (M × N)	Число итераций	Время решения (с)	Ускорение
2	80 × 90	1169687	785.909590	1.458028
4	80 × 90	1169687	625.576968	1.831715
8	80 × 90	1169687	423.302507	2.706997
16	80 × 90	1169687	274.971049	4.167271
4	160 × 180	3336901	5850.279298	1.846065
8	160 × 180	3336901	4355.450176	2.479651
16	160 × 180	3336901	1679.503207	6.430472
32	160 × 180	3336901	1054.274152	10.244014

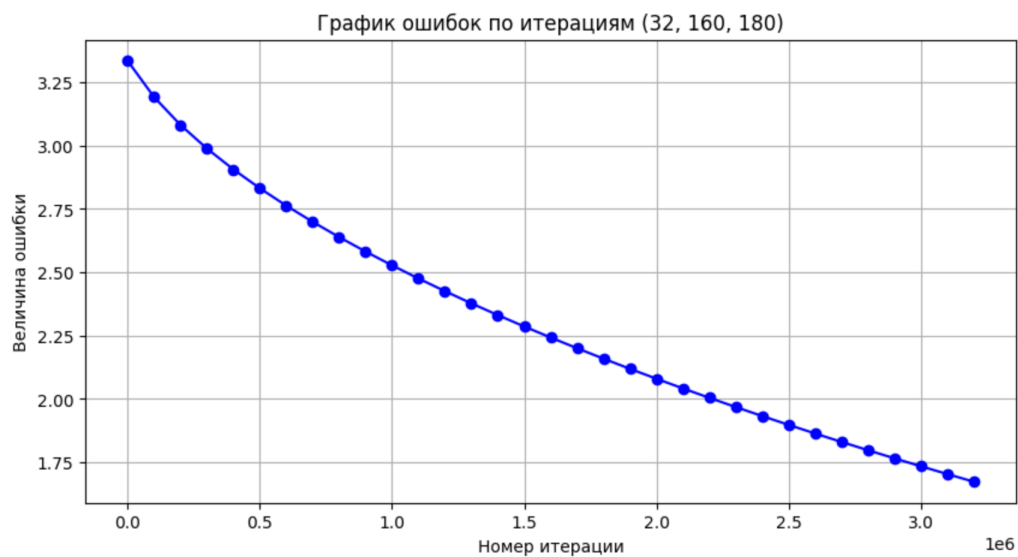
**Таблица 3.** Таблица с результатами расчётов на ПВС IBM Polus (OpenMP код)

Так же были проведены расчеты ошибок по итерациям и по области. Графики ошибок по итерациям приведены ниже:





Таким образом, график ошибки для разного количества нитей одинаковый. Построим график для сетки (160x180):



### 10.3 MPI-программа

Были проведены расчеты для алгоритма MPI с сеткой размера (40x40) для 1, 2 и 4 процессов. Во всех экспериментах точность взята равной  $1e-6$ . Результаты приведены в таблице:

Количество процессов	Число точек сетки (M × N)	Число итераций	Время решения (с)	Ускорение
1	40 × 40	267272	34.196799	1
2	40 × 40	267272	18.806876	1.818313
4	40 × 40	267272	11.166045	3.062569

**Таблица 4.** Таблица с результатами расчётов MPI на сетке (40x40)

## 10.4 Гибридная реализация MPI/OpenMP

Были проведены расчеты для гибридного алгоритма MPI/OpenMP с сеткой размера (40x40) для 1 и 2 процессов с 4 нитями, а также для последовательного выполнения. Во всех экспериментах точность взята равной  $1e - 6$ . Результаты приведены в таблице:

Количество процессов	Количество OpenMP-нитей	Число точек сетки (M × N)	Число итераций	Время решения (с)	Ускорение
1	1	40 × 40	268000	21.625425	1
1	4	40 × 40	268000	20.573502	1.05113
2	4	40 × 40	268000	13.903866	1.55535

**Таблица 5.** Таблица с результатами расчётов гибридной реализации на сетке (40x40)

Кроме того, были проведены расчеты для гибридного алгоритма MPI/OpenMP с сеткой размера (80x90) и (160x180). В экспериментах с сеткой (80x90) точность взята равной  $1e - 5$ . Результаты приведены в таблице:

Количество процессов	Количество OpenMP-нитей	Число точек сетки (M × N)	Число итераций	Время решения (с)	Ускорение
2	1	80 × 90	4420000	1547.908524	1.08156
2	2	80 × 90	4420000	1542.942087	1.08504
2	4	80 × 90	4420000	1008.669692	1.65977
2	8	80 × 90	4420000	554.788852	3.01764
4	1	160 × 180	32773000	10672.136474	1.34931
4	2	160 × 180	32773000	10652.510862	1.35179
4	4	160 × 180	32773000	7521.163959	1.9146
4	8	160 × 180	32773000	5612.745985	2.56559

**Таблица 6.** Таблица с результатами расчётов на ПВС IBM Polus (MPI+OpenMP код)

## 10.5 Графики реализаций

Рисунок приближенного решения для сетки 40 на 40:

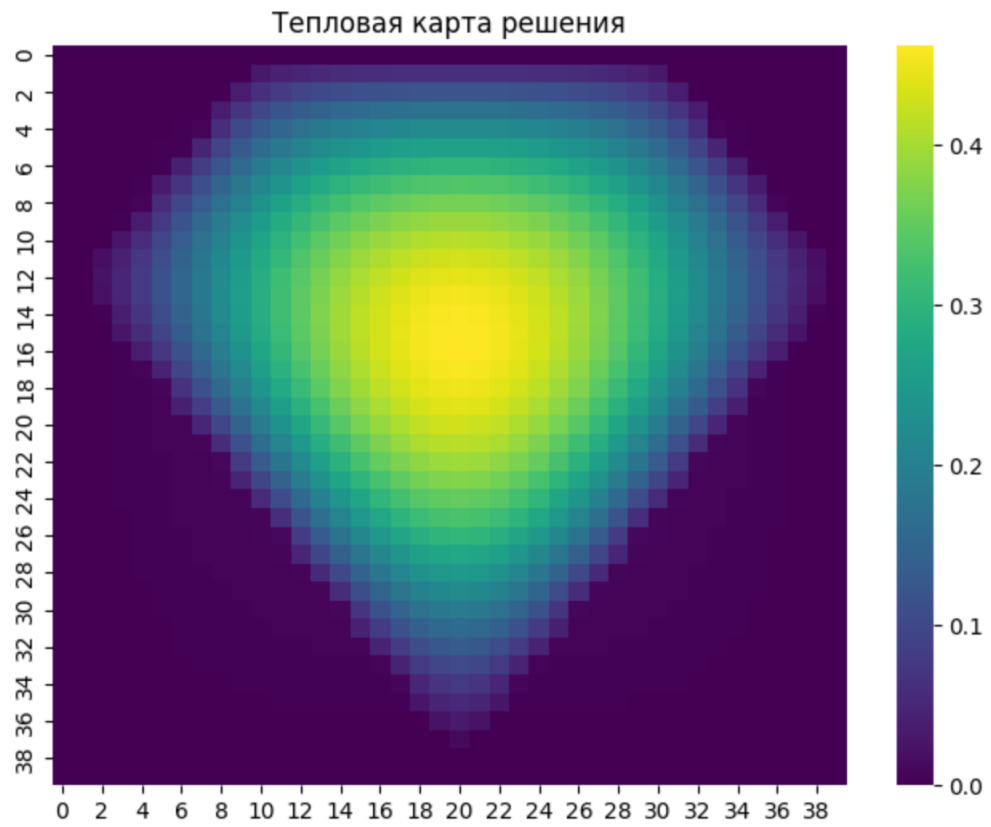
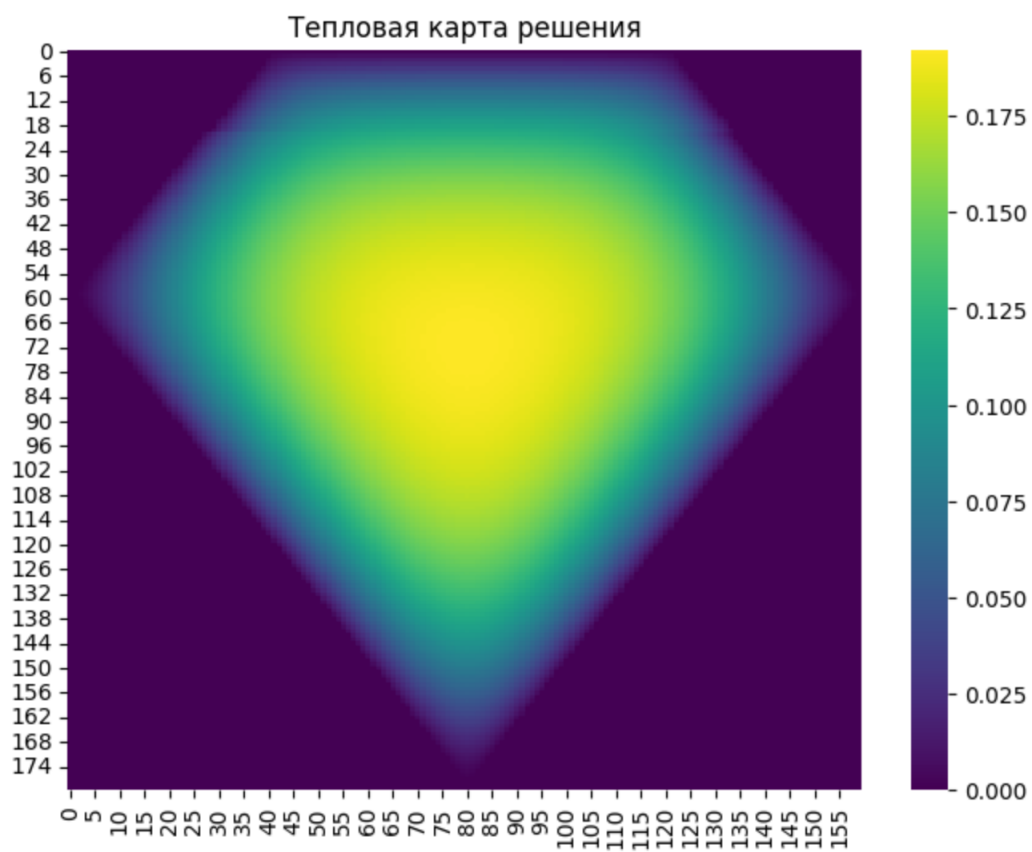


Рисунок приближенного решения для сетки 160 на 180:



Графики ускорений:

